

ΜΕΤΑΛΛΟΦΟΡΙΕΣ ΕΠΙΘΕΡΜΙΚΟΥ ΧΡΥΣΟΥ-ΑΡΓΥΡΟΥ ΣΤΙΣ ΠΕΡΙΟΧΕΣ ΠΕΡΑΜΑΤΟΣ (ΘΡΑΚΗ) ΚΑΙ ΛΗΜΝΟΥ*

Π. ΒΟΥΔΟΥΡΗΣ & Ν. ΣΚΑΡΠΕΛΗΣ¹

ΠΕΡΙΛΗΨΗ

Στην εργασία αυτή παρουσιάζονται τα αποτελέσματα αναγνωριστικής φάσης έρευνας νέων εμφανίσεων μεταλλοφορίας χρυσού - αργύρου επιθερμικού τύπου στις περιοχές Περάματος Θράκης και Λήμνου. Η μεταλλοφορία του Νότιου Περάματος χαρακτηρίζεται από την απόθεση αυτοφυούς χρυσού εντός φλεβών χαλαζία-βαριτή, που διαπερνούν ζώνη πορώδους και συμπαγούς πυριτίωσης. Η μεταλλοφορία της Μαυροκορυφής συνδέεται με φλέβες συμπαγούς πυριτίωσης και αποτελείται από λουξονίτη, τετραεδρίτη, σιδηροπυριτή, μαρκασίτη και αυτοφυή χρυσό. Το επιθερμικό σύστημα στο Φακό της Λήμνου αναπτύσσεται εντός χαλαζιακών φλεβών και χαρακτηρίζεται από απόθεση θειούχων, θειοαλάτων, τελλουριδίων καθώς και αυτοφυούς χρυσού. Οι μεταλλοφορίες ταξινομούνται με βάση γνωστά πρότυπα επιθερμικών συστημάτων.

ABSTRACT

Alteration mapping and sampling in Perama area (Thrace) and southern Lemnos island has identified new prospects with epithermal gold - silver mineralization. The epithermal mineralizations are developed within volcanosedimentary sequences formed as a result of extensional tectonics prevailing in North Aegean in Eocene - Oligocene. The south Perama mineralization is associated with veins, stockworks and vein breccias crosscutting an extensive vuggy and massive silicification zone of the surrounding sandstones. Native gold was identified within barite filling vugs and fractures in the upper parts of the silicified zone, as well as within N20°-40°W trending banded quartz-barite veins and vein breccias crosscutting the silicified zone. Gold grades are in the order of 16.5gr/t in the upper part of the silica zone. On the basis of available data the mineralization can be classified as low sulfidation type. The high sulfidation Mavrokoryfi mineralization is hosted within veins of black, massive silicification, which are transitional upwards to wedge-shaped opal-bearing silicification zones of andesitic rocks. Gold and silver grades are 1.45gr/t and 162gr/t respectively. The mineralizations at Fakos prospect in Lemnos island are related to veins, stockworks and hydrothermal breccias, developed along a system of N55°W and N70°E trending normal faults. They resemble to low sulfidation epithermal mineralizations. The veins are characterized by initial deposition of base metal rich black massive silica, followed by deposition of milky quartz, calcite, barite and precious metals. The second stage mineralization comprises chalcopyrite, sphalerite, pyrite, arsenopyrite, galena, tetrahedrite, bournonite, hessite, altaite and native gold. The highest gold value in quartz - barite veins and stockworks is 5.6gr/t.

KEY WORDS: Epithermal, gold, silver, hydrothermal alteration, high-sulfidation, low-sulfidation, Thrace, Lemnos island, Greece.

* EPITHERMAL GOLD-SILVER MINERALIZATIONS AT PERAMA (THRACE) AND LEMNOS ISLAND

¹ University of Athens, Department of Geology, Section of Economic Geology and Geochemistry, Panepistimioupoli, 13784 Zografou, Athens, GREECE.

1. ΕΙΣΑΓΩΓΗ

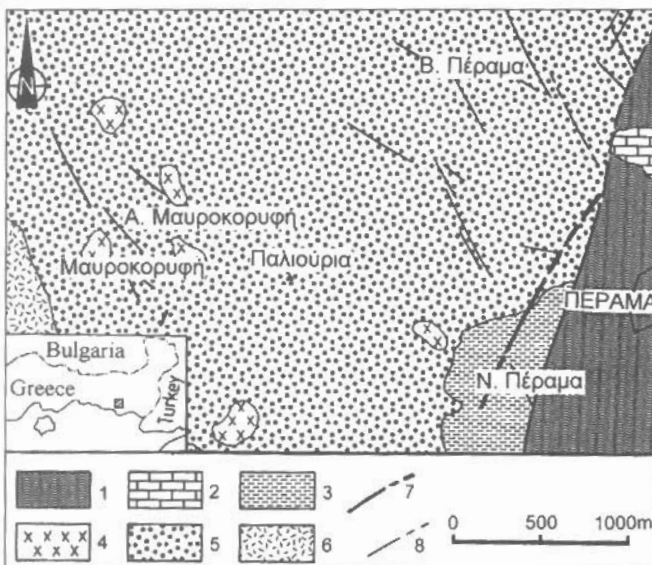
Την τελευταία δεκαετία η έρευνα για εντοπισμό κοιτασμάτων χρυσού σε ορογενετικές περιοχές - ιδιαίτερα αυτές που χαρακτηρίζονται από σχετικά πρόσφατη ηφαιστειότητα - έχει στραφεί προς τον τύπο μεταλλοφοριών "επιθερμικού χρυσού". Αν και ο ελληνικός χώρος εμφανίζει εινούχες συνθήκες για τον εντοπισμό κοιτασμάτων αυτού του τύπου, προγράμματα συστηματικής έρευνας αναπτύχθηκαν έως τώρα μόνο στην περιοχή Σαπτάπων Θράκης (Μιχαήλ et al., 1988; Bridges et al., 1997) και τη Μήλο.

Στην εργασία αυτή παρουσιάζονται αποτελέσματα από την αναγνωριστική φάση έρευνας των περιοχών Περάματος Θράκης και της Λήμνου. Τα αποτελέσματα αυτά προέκυψαν από τη γεωλογική χαρτογράφηση, τη χαρτογράφηση των ζωνών υδροθερμικής εξαλλοίωσης, τη δειγματοληπτία των μεταλλοφόρων ζωνών και την εργαστηριακή έρευνα των δειγμάτων.

2. ΠΕΡΙΟΧΗ ΠΕΡΑΜΑΤΟΣ

2.1. Γεωλογία

Η περιοχή Περάματος βρίσκεται περίπου 20km δυτικά της Αλεξανδρούπολης στο βορειοανατολικό τμήμα της τριτογενούς τάφρου των Πετρωτών. Η περιοχή που χαρτογραφήθηκε καλύπτει έκταση περίπου 7km² και δομείται σχεδόν εξ' ολοκλήρου από μαγματικά πετρώματα (Εικ. 1). Πετρογραφικές και γεωχημικές μελέτες των μαγματικών πετρώματων της τάφρου των Πετρωτών έγιναν από τους Innocenti et al. (1984), Kloos (1991), Tesch (1991). Το ανατολικό τμήμα αποτελείται κυρίως από πρασινοχιτσόλιθους της ενότητας Μάκρης. Υδροθερμικά εξαλλοιωμένοι ψαμμίτες - πιθανόν ανωηκανικής ήλικιας - έχονται σε τεκτονική επαφή με την ενότητα Μάκρης νοτιοδυτικά του Περάματος. Τα Ολιγοκανικά ηφαιστειακά και υποηφαιστειακά πετρώματα της περιοχής διακρίνονται σε τρείς πετρολογικούς τύπους: α. δόμοι και ρεύματα λάβας πιθοξενικού ανδεσίτη, β. ηφαιστειακά λατυποπαγή ανδεσιτικής έως δακτιανδεσιτικής σύστασης και γ. τόφφος (τόφφος των Πετρωτών).



Εικ. 1: Γεωλογικός χάρτης της περιοχής Περάματος. 1. Ενότητα Μάκρης (Μεσοζώικό), 2. Νομμουλιτοφόροι αιθεροστόλιθοι (Μέσο-Άνω Ήώκαινο), 3. Ψαμμίτες (Άνω Ήώκαινο), Ολιγόκαινο: 4. Ανδεσιτικοί δόμοι λάβας, 5. Ηφαιστειακά λατυποπαγή (και λίγα ρεύματα λάβας), 6. Τόφφος Πετρωτών, 7. Ρήγμα, 8. Μεταλλοφόρες φλέβες.

Fig. 1: Geologic map of Perama area. 1. Makri Unit (Mesozoic); 2. Nummulitic limestones (Middle-Upper Eocene); 3. Sandstones (Upper Eocene); Oligocene: 4. andesitic lava domes; 5. Tuff breccias (minor lava flows); 6. Petrota tuff; 7. Fault; 8. mineralized veins.

2.2. Υδροθερμικές εξαλλοιώσεις

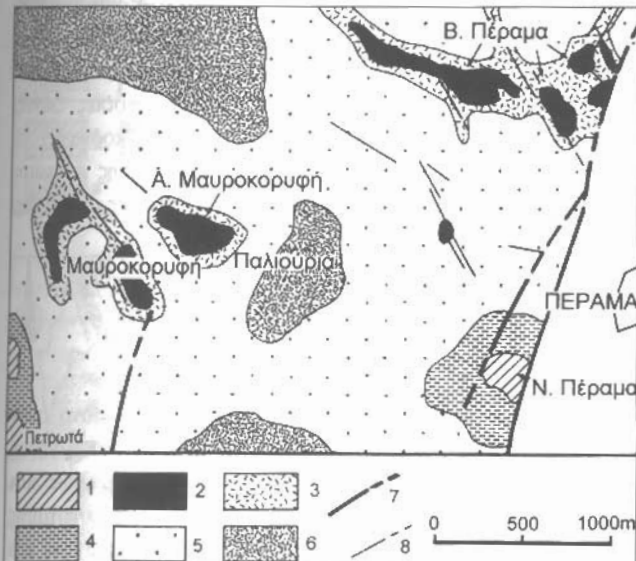
Στην περιοχή έρευνας εντοπίστηκαν οι ακόλουθες ζώνες υδροθερμικής εξαλλοίωσης (Εικ. 2): α. ζώνη πυριτίωσης, β. ζώνη αλονίτη, γ. αργιλλική ζώνη και δ. προπυλιτική ζώνη.

Πυριτική εξαλλοίωση: Εντοπίζεται στα υψηλότερα σημεία του τοπογραφικού αναγλύφου και παρουσιάζει τη μορφή καλύμματος (silica cap).

Στη ζώνη **ψηφιοκή Βιβλιοθήκη "Θεόφραστος"** - Τμήμα Γεωλογίας Α.Π.Ο. παράδοης (vuggy silica). Μικροχρυσταλλικός χαλαζιας, ανατασης, ξιρόνιο και σιδηροπυρίτης

αποτελούν τα κύρια ορυκτολογικά συστατικά της πυριτικής ζώνης του Ν. Περάματος. Καολίνιτης και πιθανόν πυροφυλλίτης μετέχουν σε μικρά ποσοστά στη σύστασή της. Αντίθετα στις ζώνες πυριτώσης που χαρτογραφήθηκαν στις θέσεις Βόρειο Πέραμα, Μαυροκορυφή και Ανατολική Μαυροκορυφή κυριαρχεί ο οπάλιος αντί του μικροχρυσταλλικού χαλαζία. Οι παραπάνω ζώνες συστατικής αποτελούνται από οπάλιο, διάσπαρτο αλουνίτη και άφθονο σιδηροπυριτή και μαφκασίτη.

Σε βαθύτερα τοπογραφικά επίπεδα των θέσεων Μαυροκορυφής και Βόρειου Περάματος η πυριτίωση έχει φλεβική μορφή και αναπτύσσεται κατά μήκος ορηγενών ζωνών διεύθυνσης B35ΑΔ εως B40ΑΔ. Εκτιμάται ότι η φλεβική πυριτίωση αντιστοιχεί σε ζώνες τροφοδοσίας των υπερχειμενών σπαλιτώσεων. Ο χαλαζίας στις φλεβικές πυριτιώσεις της Μαυροκορυφής είναι σιμπαγής και συνοδεύεται από αλουνίτη και μεταλλοφορία θειούχων και θειοαλάτων.



Εικ. 2: Επιφανειακή εξάπλωση ζωνών υδροθερμαϊκής εξαλοίωσης στην περιοχή Περάματος: 1. Πορόδης και σιμπαγής πυριτίωση. 2. Οπαλίτωση. 3. Ζώνη χαλαζία - αλουνίτη. 4. Ζώνη καολινίτη - σερικίτη. 5. Ζώνη καολινίτη - σμεκτίτη. 6. Υγή πετρώματα (τοπικά προπυλλιτική εξαλοίωση). 7. Ρήγμα. 8. Μεταλλοφόρες φλέβες.

Fig. 2: Distribution of alteration zones at Perama area: 1. vuggy- and massive silica; 2. opalitization (silicic alteration); 3. quartz-alunite zone; 4. kaolinite - sericite zone; 5. kaolinite - smectite zone; 6. fresh rock (locally propylitic alteration); 7. Fault; 8. mineralized veins.

Ζώνη αλουνίτη: Αναπτύσσεται πλευρικά και κάτω από τις ζώνες συστατικής καθώς και πλειονικά από τις φλεβικές πυριτιώσεις του Βόρειου Περάματος και της Μαυροκορυφής. Η ζώνη αλουνίτη χαρακτηρίζεται από αλουνίτη, σιδηροπυριτή, μαφκασίτη και λίγο καολινίτη.

Αργιλλική ζώνη: Η αργιλλική εξαλοίωση διακρίνεται στις παραγενέσεις καολινίτη - σερικίτη, και καολινίτη - σμεκτίτη. Η παραγένεση καολινίτη-σερικίτη αναπτύσσεται πλευρικά και κάτω από τη ζώνης πυριτώσης του Νότιου Περάματος. Η παραγένεση καολινίτη-σμεκτίτη σχετίζεται με τις ζώνες συστατικής της περιοχής, αφού αναπτύσσεται τόσο πλευρικά όσο και κάτω από τις ζώνες αλουνίτη.

Προπυλλιτική ζώνη: Η προπυλλιτική παρατηρήθηκε νότια της θέσης του Νότιου Περάματος εντός ανδεσιτικών λατυποπαγών. Ασβεστίτης, χλωρίτης, αλβίτης, επίδοτο, απατίτης, τιτανίτης και σιδηροπυριτής εντοπίστηκαν στη ζώνη αυτή.

2.3. Μεταλλοφορίες

Σε δύο θέσεις της περιοχής Περάματος (Νότιο Πέραμα και Μαυροκορυφή) εντοπίστηκαν αξιόλογες συγκεντρώσεις πολυτιμών μετάλλων, που συνδέονται με τις ζώνες πυριτώσης.

Στη θέση Νοτίου Περάματος εντοπίστηκε μεταλλοφορία χρυσού, η οποία συνδέεται με την απόθεση βαρίτη και χαλαζία σε φλέβες, σε ανοικτούς χώρους του πυριτιωμένου πετρώματος, καθώς και σε υδροθερμαϊκά λατυποπαγή, που διαπερνούν τη ζώνη πυριτώσης. Ο βαρίτης σε ορισμένα δείγματα συνοδεύεται από λίγο λευκό μικροχρυσταλλικό χαλαζία. Τα κατώτερα τμήματα της ζώνης πυριτώσης διαπερνώνται από πλήθος φλεβών χαλαζία - βαρίτη, οι οποίες παρουσιάζουν ζωνόδη ανάπτυξη Ψηφιακή Βιβλιοθήκη "Θεόφραστος" - Τμήμα Γεωλογίας. Α.Π.Θ.

(crustification banding). Οι φλέβες έχουν πάχος από 10cm έως 1m, και διευθύνσεις μεταξύ N20° και 40°Δ. Χαρακτηριστική είναι επίσης ο παρουσία πλέγματος φλεβιδίων (stockwork) και φλεβικών λατυποπαγών (vein breccias). Σερικίτης (ή πιθανόν πυροφυλλίτης) σε μικρή αναλογία συνοδεύει τον βαρίτη στις χαλαζιακές φλέβες. Η μεταλλοφορία στη θέση αυτή χαρακτηρίζεται από την απόθεση διάσπαρτου αυτοφυούς χρυσού και σιδηροπυρίτη. Πολύ μικροί κόκκοι χρυσού (<2μm) ανιχνεύθηκαν χυρίως εντός χρυστάλλων βαρίτη. Η μεταλλοφορία πολυτίμων μετάλλων που εντοπίσθηκε στη θέση Μαυροκούφη, συνδέεται με τις φλέβες μαύρης συμπαγούς πυριτίωσης, που βρίσκονται σε βαθύτερα στρωματογραφικά επίπεδα κάτω από τη ζώνη οπαλιτώσης. Η μεταλλοφορία αποτελείται από ακανόνιστες συγκεντρώσεις θειούχων και θειοαλάτων. Χαρακτηρίζεται από αρθρονία λεπτόκοκκου σιδηροπυρίτη και μαρκασίτη - συχνά κολλοειδούς μορφής - και μικρότερες συγκεντρώσεις σφαλερίτη, λουζονίτη και τετραεδρίτη. Ο λουζονίτης σχηματίζει σιγνά ελασματοειδείς χρυστάλλους και περιέχει μικροσκοπικά εγκλείσματα σιδηροπυρίτη και τετραεδρίτη ή σχηματίζει συμφύσεις με τετραεδρίτη. Αυτοφυής χρυσός παρατηρήθηκε επίσης στον λουζονίτη. Η μεταλλοφορία συνοδεύεται από μικροκυνσταλλικό χαλαζία, αλουνίτη και σε μικρά ποσοστά καολινίτη. Στις υπόλοιπες ζώνες πυριτίωσης της περιοχής (θέσεις Βόρειοι Περιάματος και Ανατολικής Μαυροκούφης) η μεταλλοφορία είναι χυρίως διάσπαρτη με μορφή μικροφλεβιδίων. Η ορικτολογική της σύσταση αποτελείται από σιδηροπυρίτη, μαρκασίτη, γαληνίτη, σφαλερίτη και κοβελλίνη σε ποικίλες αναλογίες και συνοδεύονται από οπάλιο και αλουνίτη.

3. ΔΗΜΝΟΣ

3.1. Γεωλογία

Αναγνωριστική έρευνα έγινε στις περιοχές Φακού, Σαρδών και Ρουσσοπούλιου. Μόνο στην περιοχή Φακού εντοπίστηκαν αξιόλογες συγκεντρώσεις πολυτίμων μετάλλων. Γεωλογικά η νήσος Λήμνος χαρακτηρίζεται από την παρουσία τριτογενών ιζηματογενών σχηματισμών καθώς και μαγματικών πετρωμάτων (ηφαιστειακών και υποηφαιστειακών) ενδιάμεσης έως δξεινής σύστασης (Δάβη, 1960). Τα μαγματικά πετρώματα της νήσου Λήμνου είναι Κατω Μειοκανικής ηλικίας και γεωχημικά ανήκουν στην ασβεσταλκαλική έως σωσσονιτική σειρά (Fytikas et al., 1979, 1984). Η περιοχή έρευνας στην τοποθεσία Φακού (Εικ. 3) καλύπτεται από μαγματικά πετρώματα καθώς και ιζήματα της κατώτερης ιζηματογενούς ακολουθίας που περιλαμβάνουν εναλλαγές ίλινθων, μαργών και ψαμμιτών (Roussos, 1993). Διακρίνονται τέσσερις πετρογραφικοί τύποι στην περιοχή έρευνας: δόμοι λάβας ανδεσιτικής έως δακιτικής σύστασης, τόφοι, χαλαζιακός μονζόδιορίτης και εναλλαγές αργιλλων-ψαμμιτών. Στην περιοχή Ρουσσοπούλι χυριαρχούν οι τόφοι και τα τοφφικά λατυποπαγή. Η θέση Σαρδές χαρακτηρίζεται από υποηφαιστειακή διείσδυση δξεινής σύστασης, που διαπερνά ψαμμίτες (και αργιλλους) της κατώτερης ιζηματογενούς ακολουθίας.

3.2. Υδροθερμικές εξαλλοιώσεις

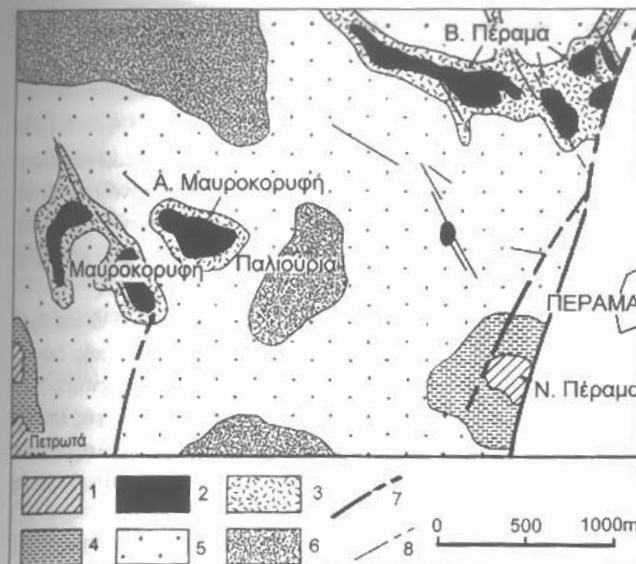
Περιοχή Φακού: Το επιθεματικό σύστημα στην περιοχή Φακού χαρακτηρίζεται από έντονες υδροθερμικές εξαλλοιώσεις των μαγματικών και ιζηματογενών πετρωμάτων. Η εξαλλωση των ζωνών υδροθερμικής εξαλλοιώσης ελέγχεται από την ορθιγενή τεκτονική. Στον Φακό αναπτύσσονται οι ακόλουθες ζώνες εξαλλοιώσης: α. ζώνη πυριτίωσης, β. ζώνη αλουνίτη, γ. αργιλλική ζώνη και δ. προπυλιτική ζώνη (εικ. 4).

Πυριτική εξαλλοιώση: Καταλαμβάνει ένα μεγάλο τμήμα της περιοχής. Ζώνες πυριτίωσης, υπό μορφή πυριτικών καλινημάτων ("silica caps") χυριαρχούν στο δυτικό και ανατολικό τμήμα (θέσεις Τουρλίδα και Πετρόποτιος αντίστοιχα). Η πυριτίωση διακρίνεται σε πορώδη (vuggy silica) και σε συμπαγή μορφή (massive silica). Εντός του "Θεοφράστος" Τμήμα Γεωλογίας Α.Π.Θ. ψηφιακή Βιβλιοθήκη Θεοφράστος Τμήμα Γεωλογίας Α.Π.Θ.

0° και
βικών
ει τον
όθεοη
θραν
ι θέση
υτερα
από
χοκου
ερίτη.
μέχει
ορίτη.
από
ώνες
ε) η
ταση
ογίες

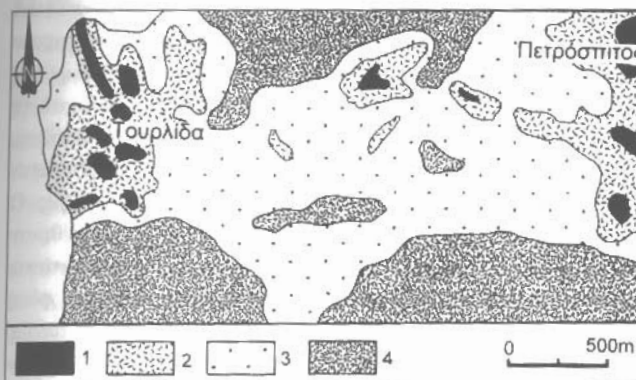
στην
ήσος
και
ισης
και
οχή^{της}
και
μοι
γές
γή.
νά

ες
ν
οι
δ.
σ
ε
1



Εικ. 3: Γεωλογικός χάρτης της περιοχής Φακού Λήμνου. Ανω Ήλακινο - Κάτω Ολιγόκαινο: 1. Ψαμμίτες (πηλίτες, μάρλιγες), Κάτω Μειόκαινο: 2. χαλαζιακός μονζόδιορίτης, 3. ηφαιστείτες (λάβες), 4. τόφροι, 5. ρήγμα.

Fig. 3: Geologic map of Fakos area, Lemnos island. Upper Eocene-lower Oligocene: 1. sandstones (minor clays and marls); Lower Miocene: 2. quartz monzodiorite; 3. volcanics (lavas); 4. tuffs; 5. fault.



Εικ. 4: Επιφανειακή εξάπλωση ζωνών υδροθερμικής εξάλλοιωσης στην περιοχή Φακού νήσου Λήμνου: 1. Ηροδόδης και συμπαγής πυριτιώση (πυριτική εξάλλοιωση), 2. ζώνη αλουνίτη, 3. ζώνη αργιλλική, 4. προπυλαΐτωση (τοπικά υγη πετρωμάτα).

Fig. 4: Distribution of alteration zones at Fakos area, Lemnos island: 1. Vuggy- and massive silica (silicic alteration); 2. quartz-alunite zone; 3. argillic zone; 4. propylitic alteration (locally fresh rock).

Εκτός των παραπάνω πυριτιώσεων, στην περιοχή Φακού εντοπίστηκαν φλεβικής μορφής πυριτιώσεις, οι οποίες συνδέονται με τις οηξιγενείς ζώνες και τις επιθερμικές μεταλλοφορίες βασικών και πολυτίμων μετάλλων. Διακρίθηκαν μια συμπαγής τεφρή έως μαύρη πυριτιώση, που πιθανόν συνδέεται με σύστημα ρηγμάτων διεύθυνσης $B70^{\circ}A$ και μια μεταγενέστερη πυριτιώση λευκού-γαλακτώδους χαλαζία, που σχετίζεται πιθανόν με ρηγμάτα διείθυνσης $B55^{\circ}-70^{\circ}D$. Η φλεβική συμπαγής μαύρη πυριτιώση εκτιμάται ότι αποτελεί την σε βάθος προέκταση των πυριτικών καλυμμάτων, που αναπτύσσονται στα υψηλότερα στρωματογραφικά επίπεδα της περιοχής. Τις φλεβικές πυριτιώσεις συνοδεύει βαρίτης, σερικίτης, σμεκτίτης και ασθεστίτης.

Ζώνη αλουνίτη: Απαντά περιφερειακά και κάτω από τα πυριτικά καλύμματα στις θέσεις Πετρόσπιτος, Τουρλίδα και στο κεντρικό τμήμα της περιοχής. Ο αλουνίτης συνυπάρχει με χαλαζία, λίγο καολινίτη και σιδηροτυρίτη.

Ζώνη αργιλλική: Χαρακτηρίζεται από τις παραγγνέσεις σερικίτη-χαλαζία και σερικίτη-σμεκτίτη αντίστοιχα. Η ζώνη σερικίτη αναπτύσσεται κάτω από τη ζώνη αλουνίτη. Επίσης περιβάλλει τις φλεβικές πυριτιώσεις (μαύρη συμπαγή και γαλακτώδη) στα υψηλότερα τοπογραφικά επίπεδα, όπου και παρουσιάζει γραμμική ανάπτυξη κατά μήκος των πυριτικών φλεβών. Χαρακτηρίζεται από την παρουσία σερικίτη, χαλαζία, σιδηροτυρίτη και τοπικά λίγο ακτινόλιθου. Σε χαρακτηρίζεται επίπεδα η πλευρική εξάλοιφτη των καλυμμάτων φλεβών, ψηφιστούμενη από την παραγγενεσή σμεκτίτη, σερικίτη, χαλαζία και σιδηροτυρίτη.

Ψηφιακή Βιβλιοθήκη "Θεόφραστος" - Τμήμα Γεωλογίας, Α.Π.Θ.

Προπυλιτική ζώνη: Η ζώνη προπυλιτίωσης αναπτύσσεται στα χαμηλότερα επίπεδα του επιθεομικού συστήματος πλευρικά της αργίλλικής ζώνης.

3.3. Μεταλλοφορίες

Περιοχή Φακού: Η έρευνα για εντοπισμό χρυσού - αργύρου στην περιοχή Φακού επικεντρώθηκε στις πυριτικές ζώνες. Αξιόλογες συγκεντρώσεις μεταλλικών ορυκτών εντοπίστηκαν μόνο στο νότιο τμήμα της περιοχής και συγκεκριμένα σε χαλαζιακές φλέβες, που βρίσκονται μέσα στους φαμίτες (δυτική και κεντρική ζώνη) και στο χαλαζιακό μονζοδιορίτη στα νοτιανατολικά της περιοχής (ανατολική ζώνη).

Η δυτική ζώνη μεταλλοφορίας ευρίσκεται εντός χαλαζιακών φλεβών διεύθυνσης $B55^{\circ}\Delta$ και έχει μήκος περίπου 500m και εύρος που ανέρχεται στα 80m. Εντός της πυριτιωμένης δυτικής ζώνης χυριαρχούν φλεβικά λατυποπαγή (vein breccias) και πλέγμα χαλαζιακών φλεβιδίων (stockworks). Ο χαλαζίας στις φλέβες και τα λατυποπαγή ποικίλει μεταξύ γαλακτώδους συμπαγούς μορφής (milky quartz), λευκού χαλκηδονιούχου χαλαζίας (chalcedonic quartz) και ιδιομορφου διαυγούς χαλαζία, που πληρεί κενά (comb quartz). Τον χαλαζία στις φλέβες συνοδεύει βαρίτης. Τα γωνιώδη τεμάχια φαμίτη στα λατυποπαγή είναι σερικιτιωμένα.

Η κεντρική ζώνη παρουσιάζει έντονη ανάπτυξη φλεβιδίων διεύθυνσεων $B55^{\circ}\Delta$ και $B70^{\circ}\text{A}$. Εχει περίπου το ίδιο μήκος και εύρος με τη δυτική ζώνη. Στα υψηλότερα τοπογραφικά επίπεδα η εικόνα είναι η ίδια όπως αυτή περιγράφητε προηγουμένως για τη δυτική ζώνη. Σε χαμηλότερα τοπογραφικά επίπεδα (περίπου 60m χαμηλότερα) εντοπίστηκε πλήθος χαλαζιακών φλεβών και υδροθερμικών λατυποπαγών με πλούσια μεταλλοφορία θειούχων, θειοαλάτων, τελλοουριδίων και χρυσού. Οι φλέβες αυτές διαπερνούν τους φαμίτες και τις λάβες. Διαφίλθηκαν δύο φάσεις μεταλλοφορίας: κατά τη διάφορεια της πρώτης φάσης αποτίθεται τεφρός έως μαύρος, μικροχρυσούσταλλικός χαλαζίας, σφαλερίτης, γαληνίτης, τετραεδρίτης και άφθονος σιδηροπυρίτης. Το υλικό αυτό συνεκτικοποιεί πυριτιωμένα γωνιώδη τεμάχη φαμίτη σε φλεβικά λατυποπαγή ή αποτίθεται υπό συμπαγή μορφή στις φλέβες. Ο χαλαζίας συνοδεύεται από σμεκτίτη και λίγο βαρίτη. Στη πρώτη φάση μεταλλοφορίας δεν αποτέθηκαν πολύτιμα μέταλλα. Οι φλέβες που αποτελούνται από τεφρή έως μαύρη μικροχρυσούσταλλική πυριτιώση έχουν πάχος από μερικά cm έως 5m και ακολουθούν διεύθυνση $B70^{\circ}\text{A}$. Η δεύτερη φάση μεταλλοφορίας αρχίζει έπειτα από υδροθερμική λατυποποίηση των φλεβών συμπαγούς πυριτιώσης και των εξαλλοιωμένων πλευρικών πετρωμάτων (ίζηματα και λάβες). Χαρακτηρίζεται από την απόθεση πολυτίμων μετάλλων εντός φλεβών και φλεβιδίων, τα οποία διαπερνούν τόσο τη συμπαγή πυριτίωση όσο και τα πλευρικά εξαλλοιωμένα πετρώματα. Οι φλέβες χαρακτηρίζονται από ζωνώδη ανάπτυξη (crustification banding), πλήρωση κενών (open space filling) και υδροθερμική λατυποποίηση (hydrothermal brecciation). Η δεύτερη φάση μεταλλοφορίας χαρακτηρίζεται από την απόθεση θειούχων (σιδηροπυρίτη, χαλκοπυρίτη, σφαλερίτη, γαληνίτη, αρσενοπυρίτη), θειοαλάτων (τετραεδρίτη, βιουρνονίτη), τελλοουριδίων (εσσίτη, αλταίτη) και αυτοφυής χρυσού. Σύνδρομα φλεβικά ορυκτά εκτός του χαλαζία και αισβεστίτη είναι ο βαρίτης, σερικίτης/σμεκτίτης και λίγος χλωρίτης. Αυτοφυής χρυσός απαντά με μορφή μικροσκοπικών κόκκων μεγέθους <2mm στον εσσίτη.

Η ανατολική ζώνη μεταλλοφορίας βρίσκεται περίπου 600m νοτιανατολικά της κεντρικής ζώνης και χαρακτηρίζεται από τις υψηλότερες συγκεντρώσεις χρυσού στις μεταλλοφορίες της περιοχής Φακού. Εχει μήκος περίπου 1km και εύρος περί τα 10m. Το σύστημα των φλεβών έχει διεύθυνση $B70^{\circ}\text{A}$. Στη ζώνη αυτή εντοπίστηκαν τόσο η μαύρη συμπαγής πυριτιώση, που αντιστοιχεί στην πρώτη φάση μεταλλοφορίας, δύο και η γαλακτώδης πυριτίωση που χαρακτηρίζει τη δεύτερη μεταλλοφόρο φάση. Ο γαλακτώδης χαλαζίας συνοδεύεται από γαληνίτη, σφαλερίτη και βιουρνονίτη. Σερικίτης και βαρίτης συνοδεύει τον χαλαζία στις φλέβες.

Περιοχή Σαρδών: Η αναγνωριστική έρευνα στην περιοχή Σαρδών αποκάλυψε την ανάπτυξη ενός συστήματος χαλαζιακών φλεβών αντίστοιχου με εκείνο της περιοχής Φακού. Οι φλέβες αναπτύσσονται εντός τουλαριαριστικής πυριτιώσης και ψηφιακού χαλαζία με συστήματα οργιμάτων διεύθυνσης $B55^{\circ}\Delta$ και $B70^{\circ}\text{A}$ όπως και στη περιοχή Φακού. Φλεβίδια μαύρης μικροχρυσούσταλλικής

πυριτίωσης με σιδηροπυρίτη αποτέθηκαν κατά την διάρκεια μάς πρώτης φάσης μεταλλοφορίας. Η δεύτερη φάση μεταλλοφορίας χαρακτηρίζεται από απόθεση γαλακτώδους χαλαζίας και ασθεστίτη με αφθονο σιδηροπυρίτη σε φλέβες, φλεβίδια και λατυποπαγή. Το πλευρικό πέτρωμα των χαλαζιακών φλεβών χαρακτηρίζεται από σερικιτίωση.

Περιοχή Ρουσσοπούλιον: Στην περιοχή Ρουσσοπούλι εντοπίστηκαν εντός ηφαιστειακών λατυποπαγών τρείς ζώνες μαύρης συμπαγούς πυριτίωσης. Η πυριτίωση αυτή είναι συχνά οπαλιούχος και συνδέεται με σερικιτική εξαλλοίωση του πλευρικού πετρώματος. Ζώνη αλουνίτη αναπτύσσεται πάνω από την ζώνη πυριτίωσης. Χαρακτηριστική είναι η υδροθερμική λατυποποίηση τόσο των ζωνών πυριτίωσης όσο και της ζώνης αλουνίτη. Η μεταλλοφορία περιλαμβάνει σιδηροπυρίτη και μαρκασίτη σε διάσπαρτη μορφή και φλεβίδια που διαπερνούν τις ζώνες πυριτίωσης.

4. ΧΗΜΙΣΜΟΣ ΜΕΤΑΛΛΟΦΟΡΙΩΝ

Δείγματα από φλεβικό χυρίως υλικό από το Πέραμα και τη Λήμνο αναλύθηκαν για τον προσδιορισμό της περιεκτικότητας τους σε χρυσό και αργυρό (Πιν. 1). Η ανάλυση των δειγμάτων έγινε με συσκευή φασματομετρίας απομικής απορρόφησης με φούρνο γραφίτη στον Τομέα Οικονομικής Γεωλογίας & Γεωχημείας του Πανεπιστημίου Αθηνών. Το όριο ανιχνευσιμότητας για τον χρυσό είναι 5ppb και για τον αργυρό 2ppb.

4.1. Περιοχή Περάματος

Στη θέση Νοτίου Περάματος δείγματα από τα ανώτερα τμήματα της ζώνης πυριτίωσης, που χαρακτηρίζονται από πορφόρη πυριτίωση και αφθονία βαρίτη, έδωσαν πολύ υψηλές συγκεντρώσεις σε χρυσό (μέσος όρος 16.5 gr/tη) και αργυρό (μέσος όρος 21.2gr/tη). Οι φλέβες χαλαζία-βαρίτη και τα φλεβικά λατυποπαγή που αναπτύσσονται στο νότιο τμήμα και στη βάση της ζώνης πυριτίωσης Notίου Περάματος χαρακτηρίζονται από αισθητή χαμηλότερες συγκεντρώσεις χρυσού (μέσος όρος 1.42gr/tη). Ο αργυρός κυμαίνεται μεταξύ 1.9 και 26gr/tη (μέσος όρος 9.5gr/tη). Με βάση τα υπάρχοντα δεδομένα τα ανώτερα τμήματα της ζώνης πυριτίωσης φαίνεται να χαρακτηρίζονται από τις υψηλότερες συγκεντρώσεις χρυσού και αργυρού. Αντίθετα φλέβες χαλαζία - βαρίτη που διαπερνούν τη βάση της ζώνης πυριτίωσης παρουσιάζουν χαμηλότερες συγκεντρώσεις. Αναλύσεις σε δείγματα από τις ζώνες οπαλιτίωσης του Βόρειου Περάματος και Α. Μαυροκορυφής έδωσαν τιμές χρυσού κάτω από το όριο ανιχνευσης (< 0.005gr/tη) και αργυρού μεταξύ 0.04 και 0.1gr/tη. Τα δείγματα αυτά συνοδεύονται από μεταλλοφορία βασικών μετάλλων.

Η μεταλλοφορία θειοαλάτων, που εντοπίστηκε σε φλέβες μαύρης συμπαγούς πυριτίωσης στη θέση Μαυροκορυφής, περιέχει αινημένες συγκεντρώσεις σε χρυσό (1.45gr/tη) και αργυρό (162gr/tη). Αντίθετα η πλευρική ζώνη εξαλλοίωσης των φλεβών, που χαρακτηρίζεται από την παραγένεση χαλαζία - αλουνίτη - καολινίτη, παρουσιάζει πολύ υψηλές περιεκτικότητες σε χρυσό (< 0.01gr/tη).

4.2. Λήμνος

Φακός: Από την περιοχή Φακού αναλύθηκαν δείγματα από τις ζώνες πυριτίωσης και προχωρημένης αργιλικής εξαλλοίωσης (Τουρδίδα και Πετρόσπιτος) καθώς και υλικό από τις χαλαζιακές φλέβες από τη δυτική, κεντρική και ανατολική μεταλλοφόρο ζώνη και από διαφορετικά επίπεδα των επιθερμακών φλεβών.

Οι ζώνες πυριτίωσης, αλουνίτη και τα υδροθερμικά λατυποπαγή στις θέσεις Τουρδίδα και Πετρόσπιτος παρουσιάζουν χαμηλές περιεκτικότητες χρυσού. Δεύγματα με γαλακτώδη χαλαζία από την δυτική μεταλλοφόρο ζώνη έδωσαν περιεκτικότητες σε χρυσό μεταξύ 0.05gr/tη και 0.19gr/tη (μέσος όρος 0.12 gr/tη) και σε αργυρό της τάξης των 12.3gr/tη. Από την κεντρική μεταλλοφόρο ζώνη αναλύθηκε υλικό από διαφορετικά επίπεδα των επιθερμακών φλεβών. Σε φλεβικό υλικό από χαμηλότερα του συστήματος οι τιμές χρυσού κυμαίνονται μεταξύ 0.07gr/tη και 1.69gr/tη (μέσος όρος 0.43gr/tη) και αργυρού μεταξύ 0.5 και 38.0gr/tη (μέσος όρος 15.1gr/tη). Στά ανώτερα τμήματα της κεντρικής Ψηφιακής Βιβλιοθήκης ("Θεόφραστος" Τμήμα Γεωλογίας Α.Πιθανές σε χρυσό μεταξύ

0.55gr/tm και 2.6gr/tm (μέσος όρος 1.57gr/tm) και αργύρου μεταξύ 1.8gr/tm και 2gr/tm (μέσος όρος 1.9gr/tm). Η υψηλότερη τιμή σε χρυσό στην περιοχή Φακού μετρήθηκε σε φλεβικό υλικό από την ανατολική ζώνη μεταλλοφορίας (5.6gr/tm). Από τα υπάρχοντα δεδομένα δεν προκύπτει κάποια σχέση της συγκεντρωσης χρυσού με το επίπεδο ανάπτυξης των επιθεματικών φλεβών. Οι συγκεντρώσεις χρυσού όμως φαίνεται να είναι υψηλότερες στο ανατολικό ήμισυ του συστήματος των φλεβών που εφευνήθηκαν. Οι υψηλότερες τιμές αργύρου μετρήθηκαν σε δείγματα με άφθονο τετραεδρίτη στα χαμηλότερα επίπεδα του επιθεματικού συστήματος.

Πίν. 1: Συγκεντρώσεις Au και Ag σε μεταλλοφορίες του Περάματος και της Λήμνου

Table 1: Gold and silver grades in mineralizations of Perama and Lemnos island

| Περιοχή | Τύπος μεταλλοφορίας | Au (gr/tm) | | Ag (gr/tm) | |
|---|--|-------------|---------|------------|---------|
| | | Εύρος | Αρ.Μέσ. | Εύρος | Αρ.Μέσ. |
| Άνωτ. τμήματα ζ. πυριτίωσης N. Περάματος | διάσπαρτη μεταλλοφορία βαρίτη σε ρωμές, κενά και υδροθερμικά λατυποπαγή | 4.5-35.0 | 16.5 | 2.1-57.0 | 21.2 |
| Κατ. τμήματα ζ. πυριτίωσης N. Περάματος | χαλαζίας-βαρίτης σε φλέβες πλέγμα φλεβιδίων και λατυποπαγή | 0.2-3.6 | 1.42 | 1.9-26.0 | 9.5 |
| 80m κάτω από ζ. πυριτίωσης Μαυροκορυφής | θειούχα-θειοάλατα σε διάσπαρτη μορφή και φλεβιδία εντός φλέβας συμπαγούς πυριτίωσης | 1.45 | 1.45 | 162 | 162 |
| Κατ. τμήματα ζών. πυριτ. B. Περάματος | θειούχα σε διάσπαρτη μορφή και φλεβιδία εντός ζώνης οπαλίτιωσης | <0.005 | <0.005 | 0.04-0.1 | 0.05 |
| Κατ. τμήματα ζ. πυριτίωσης A. Μαυροκορυφής | θειούχα σε διάσπαρτη μορφή και φλεβιδία εντός ζώνης οπαλίτιωσης | <0.005 | <0.005 | <0.04 | <0.04 |
| Ζώνες πυριτίωσης Πετρόσπιτου | συμπαγής και πορώδης πυριτίωση | 0.01-0.03 | 0.02 | - | - |
| Ζώνες πυριτίωσης Τουρβίδας | υδροθερμικά λατυποπαγή | 0.008-0.4 | 0.2 | - | - |
| Τουρβίδα, ζώνη αλουνίτη | υδροθερμικά λατυποπαγή | 0.01 | 0.01 | - | - |
| Άνωτ. τμήματα Δυτικής μεταλλοφόρου ζώνης Φακού | χαλαζίας-βαρίτης σε φλέβες πλέγμα φλεβιδίων και υδροθερμικά λατυποπαγή | 0.05-0.19 | 0.12 | 12.3 | 12.3 |
| Άνωτ. τμήματα Κεντρικής μεταλλοφόρου ζώνης Φακού | χαλαζίας-βαρίτης σε φλέβες πλέγμα φλεβιδίων και υδροθερμικά λατυποπαγή | 0.55-2.58 | 1.57 | 1.8-2.0 | 1.9 |
| Κατωτ. τμήματα Κεντρικής μεταλλοφόρου ζώνης Φακού | θειούχα, θειοάλατα, τελλουρίδια σε φλέβες χαλαζία ± ασβεστίτη, φλεβιδία και λατυποπαγή | 0.07-1.69 | 0.43 | 0.5-38.0 | 15.1 |
| Άνωτ. τμήματα Ανατολικής μεταλλοφόρου ζώνης Φακού | χαλαζίας-βαρίτης σε φλέβες πλέγμα φλεβιδίων και υδροθερμικά λατυποπαγή | 0.18-5.62 | 1.67 | 0.4-8.1 | 4.1 |
| Σαρδές | χαλαζιακές φλέβες, πλέγμα φλεβιδίων και λατυποπαγή | 0.01-0.28 | 0.09 | - | - |
| Ρουσσοπούλι | θειούχα σε διάσπαρτη μορφή και φλεβιδία εντός ζώνης οπαλίτιωσης και λατυποπαγή | 0.008-0.012 | 0.009 | - | - |

(-) δεν αναλύθηκε

Σαρδές και Ρουσοπούλι: Οι περιεκτικότητες σε χρυσό που μετρήθηκαν από τις Σαρδές είναι χαμηλές και κυμαίνονται μεταξύ 0.01 και 0.28gr/tm. Πολύ χαμηλές (κάτω από 0.01 gr/tm) είναι και οι περιεκτικότητες σε χρυσό από υδροθερμικά λατυποπαγή και φλέβες μαύρης συμπαγούς πυριτώσης από την περιοχή Ρουσσοπούλι και καθιστούν την περιοχή αυτή χωρίς ενδιαφέρον για περαιτέρω έρευνα.

5. ΣΥΖΗΤΗΣΗ ΚΑΙ ΣΥΜΠΕΡΑΣΜΑΤΑ

Οι επιθερμικές μεταλλοφορίες χρυσού - αργύρου που εντοπίστηκαν στο Πέραμα και τη Λήμνο είναι το αποτέλεσμα μαγματικών-υδροθερμικών διαδικασιών που έλαβαν χώρα στο βορειοελλαδικό χώρο κατά την διάρκεια του Τριτογενούς. Οι μεταλλοφορίες αναπτύχθηκαν σε ηπειρωτικές λεκάνες όπου έλαβε χώρα έντονη μαγματική δραστηριότητα και κάτω από καθεστώς εφελκυστικού τεκτονισμού σε αντιστοιχία με άλλες περιοχές στον κόσμο, όπως Taupo volcanic zone, Νέα Ζηλανδία και Great Basin, Nevada (White & Hedenquist, 1990).

Οι μεταλλοφορίες της περιοχής Περάματος (Ν. Πέραμα και Μαυροκορυφή) διαφέρουν μεταξύ τους σε ότι αφορά τα ορυκτολογικά και μορφολογικά τους χαρακτηριστικά. Τα υπάρχοντα δεδομένα δεν επιτέλουν με βεβαιότητα την ταξινόμηση του μεταλλοφόρου συστήματος του Ν. Περάματος. Αυτό παρουσιάζει χαρακτηριστικά τόσο συστημάτων υψηλού θείου (high-sulfidation) όσο και χαμηλού θείου (low-sulfidation). Η παραγένεση βαρίτη-χρυσού στα ανώτερα τμήματα της ζώνης πυριτώσης είναι συνήθης σε κοιτάσματα υψηλού θείου, όπως Tambo της Χιλής (Siddleley & Aradena, 1990), Sandstorm and Kendall mines στην περιοχή Goldfield της Νεβάδα (Vikre, 1989) και Summitville-Colorado (Stoffregen, 1987). Αντίθετα οι φλέβες χαλαζιά-βαρίτη που αναπτύσσονται στην βάση της πυριτωμένης ζώνης παρουσιάζουν ζανώδη δομή, πλήρωση διακένων, που είναι μάλλον χαρακτηριστικά γνωρίσματα συστήματος χαμηλού θείου (σύμφωνα με White & Hedenquist, 1995). Λόγω της έλειψης περιοστέρων δεδομένων (δεδομένα βάθους, ορυκτολογία μεταλλοφορίας βάθους) η μεταλλοφορία του Ν. Περάματος ταξινομείται με επιφύλαξη σε εκείνες του χαμηλού θείου.

Αντίθετα η μεταλλοφορία θειωαλάτων που εντοπίστηκε στην περιοχή Μαυροκορυφής είναι χαρακτηριστική των μεταλλοφοριών τύπου υψηλού θείου (high-sulfidation) και μάλιστα παρουσιάζει πολλές ομοιότητες με αυτές του τύπου Nansatu όπως έχουν περιγραφεί από τα κοιτάσματα Nansatsu της Ιαπωνίας (Izawa & Cunningham, 1989), Paradise Peak στην Νεβάδα (Sillitoe & Lorson, 1994) και Nalesbitan στις Φιλιππίνες (Sillitoe et al., 1990). Η μεταλλοφορία ευρίσκεται υπό μορφή φακών μέσα σε συμπαγή πυριτώση, χαρακτηρίζεται από την αφθονία του ορυκτού λουζονίτη (αντίστοιχο του εναργίτη) καθώς και από την παρουσία φλεβικού αλουνίτη και καιολινίτη. Τέλος οι μεταλλοφόρες φλέβες περιβάλλονται από προχωρημένη αργιλολική εξαλλοίωση του πλευρικού πετρώματος.

Από τα παραπάνω συμπεραίνεται ότι στην περιοχή Περάματος πιθανόν δύο διαφορετικά μεταλλοφόρα συστήματα. Οι παρατηρήσεις αυτές είναι σε συμφωνία με ερευνητικά αποτελέσματα από άλλες περιοχές της Θράκης όπως η περιοχή Κασσιτερών-Κάνου. Στην περιοχή αυτή παρατηρήθηκε η συντάραξη μεταλλοφοριών τύπου χαμηλού και υψηλού θείου εντός ενός ηφαιστειακού κέντρου (Voudouris, 1993; Voudouris & Ariskas, 1994).

Στην περιοχή Φακού αντίθετα τα υπάρχοντα δεδομένα συνηγορούν στην ανάπτυξη ενός επιθερμικού συστήματος χαμηλού θείου (low-sulfidation). Η μεταλλοφορία στα χαμηλότερα επίπεδα των επιθερμικών φλεβών συνοδεύεται από άφθονο ασβεστίτη, ο οποίος ως γνωστό, αποτίθεται από διαλύματα αλκαλικά και σχεδόν ουδέτερου pH, που χαρακτηρίζουν τις μεταλλοφορίες χαμηλού θείου (White & Hedenquist, 1995). Επίσης η παρουσία φλεβικού σερικίτη και ορεκτίτη καθώς και η προπυλιτική εξαλλοίωση του πλευρικού πετρώματος στα χαμηλότερα επίπεδα του συστήματος είναι χαρακτηριστικά μεταλλοφοριών χαμηλού θείου. Σε ηφαλότερα τοπογραφικά επίπεδα κυριαρχεί η παρουσία του γαλαστώδους και χαλκηδονιούχου χαλαζία στις φλέβες και η σερικιτώση του πλευρικού πετρώματος. Κατά θέσεις η πυριτώση στις χαλαζιακές φλέβες χαρακτηρίζεται από ζώνωση κολλοειδούς ιστού (colloform banding) γνώρισμα των μεταλλοφοριών χαμηλού θείου.

ΕΥΧΑΡΙΣΤΙΕΣ

Εκφράζονται οι ευχαριστίες των συγγραφέων προς τη Γενική Γραμματεία Ερευνας & Τεχνολογίας για τη χορηφατοδότηση της έρευνας αυτής μέσω του Προγράμματος Ενίσχυσης Ερευνητικού Διναμικού (ΠΕΝΕΔ-95).

ΒΙΒΛΙΟΓΡΑΦΙΑ

- BRIDGES, P.S., GORDON, M.J., MICHAEL, C. & AMPATZIOGLOU, M. 1997. Gold mineralization at Sappes, Northern Greece. "Europe's Major Gold Deposits". Irish Association for Economic Geology, 95-107.
- ΔΑΒΗ, Ε. 1960. Τα ηφαιστειογενή πετρόλιματα της νήσου Λίμνου. *Ann. Geol. Pays Hellen.*, **11**, 1-82.
- FYTIKAS, M., GIULIANI, O., INNOCENTI, F., MARINELLI, G., MANNETI, P., MAZZUOLI, R., PECCERILLO, A., & VILLARI, L., 1979. Neogene volcanism of the northern and central Aegean region. *Ann. Geol. Pays Hell.*, **30**, 106-129.
- FYTIKAS, M., INNOCENTI, F., MANNETI, P., MAZZUOLI, R., PECCERILLO, A., & VILLARI, L., 1984. Tertiary to Quaternary evolution of volcanism in the Aegean region, In: Dixon, J.E., & Robertson, A.H.F., (eds), *The geological evolution of the eastern Mediterranean: Oxford Geol. Soc. Spec. Publ.* **17**, 687-699.
- INNOCENTI, F., KOLIOS, N., MANNETI, O., MAZZUOLI, R., PECCERILLO, G., RITA, F., & VILLARI, L. 1984. Evolution and geodynamic significance of the Tertiary orogenic volcanism in northeastern Greece. *Bull. Volcanol.* **47**, 25-37.
- IZAWA, E., & CUNNINGHAM, C.G. 1989. Hydrothermal breccia pipes and gold mineralization in the Iwashita orebody, Iwato deposit, Kyushu, Japan. *Econ. Geology*, **84**, 715-724.
- KLOOS, R.-M. 1991. Geologische und petrographisch-geochemische Untersuchungen an oligozanen Vulkaniten im zentralen Teil des Grabens von Petrota/Maronia, Thrakien, Nordostgriechenland. *Unveröffentl. Diplomarbeit, Geolo.-Paleontol. Inst., Univ. Hamburg*, 117pp.
- ΜΙΧΑΗΑ, Κ., ΠΑΠΑΔΟΠΟΥΛΟΣ, Π., ΜΑΡΑΝΤΟΣ, Ι. & ΕΥΑΓΓΕΛΑΟΥ, Ε. 1988. Επιθεματικές μεταλλοφορίες χρυσού στην περιοχή Κάνου, Ανατ. Ροδόπης. *ΙΓΜΕ Παρ. Ξανθής*, 23pp.
- ROUSSOS, N. 1993. Geological map of Greece, Myrina and Moudros sheets, Limnos island, scale 1:50.000, I.G.M.E., Athens.
- SIDDELEY, G., & ARADENA, R. 1990. Gold-silver occurrences of the El Indio belt, Chile. *Earth Sci. Ser. Circum-Pacific Council Energy Mineral Resources*, **11**, 273-284.
- SILLITO, R.H., ANGELES, C.A. JR., COMIA, G.M., ANTIOQUIA, E.C., & ABEYA, R.B. 1990. An acid-sulfate-type lode gold deposit at Nalesbitan, Luzon, Philippines. In: Hedenquist, J.W., White, N.C., Siddeley, G., (eds), *Epithermal gold mineralization of the Circum-Pacific: Geology, Geochemistry, Origin and Exploration, I, Jour. Geochem. Explor.* **35**, 387-411.
- SILLITO, R.H., & LORSON, R.C. 1994. Epithermal gold-silver-mercury deposits at Paradise Peak, Nevada: Ore controls, porphyry gold association, detachment faulting, and supergene oxidation. *Econ. Geology*, **89**, 1228-1248.
- STOFFREGEN, R. 1987. Genesis of acid-sulfate alteration and Au-Cu-Ag mineralization of Summitville, Colorado. *Econ. Geology*, **82**, 1575-1591.
- TESCH, C. 1991. Geologische und petrographisch-geochemische Untersuchungen an tertiären Vulkaniten im sudostlichen Teil des Grabens von Petrota/Maronia, Thrakien, Nordostgriechenland. *Unveröffentl. Diplomarbeit, Geolo.-Paleontol. Inst., Univ. Hamburg*, 123pp.
- VIKRE, P.G. 1989. Ledge formation at the Sandstorm and Kendall gold mines, Goldfield, Nevada, *Econ. Geology*, **84**, 2115-2138.
- VOUDOURIS, P. 1993. Mineralogical, geochemical and fluid inclusion studies on epithermal vein type gold-silver mineralizations at Kassiteres/Sapes, (NE- Greece). *Unpub. Ph.D. thesis, Univ. Hamburg*, 218pp. (in German).
- VOUDOURIS, P., Ψηφιακή Βιβλιοθήκη "Θεόφραστος", Τμήμα Γεωλογίας, Α.Π.Θ. in Kassiteres/Sape, NE-

Greece: Geological, mineralogical and fluid inclusion studies. *Bull. Geol. Soc. Greece*, (in press, in German with English abstract).

WHITE, N.C. & Hedenquist, J.W. 1990. Epithermal environments and styles of mineralization: variations and their causes and guidelines for exploration In Hedenquist, J.W., White, N.C., Siddeley, G., (eds), *Epithermal gold mineralization of the Circum-Pacific: Geology, Geochemistry, Origin and Exploration, II, Jour. Geochem. Explor.* **36**, 445-474

WHITE, N.C. & HEDENQUIST, J.W. 1995. Epithermal gold deposits: Styles, characteristics and exploration. *Soc. Econ. Geologists Newsletter*, **23**, 9-13.

ΤΜΗΜΑ ΓΕΩΛΟΓΙΑΣ
ΒΙΒΛΙΟΘΗΚΗ